

**О возможности проверки Т-инвариантности в полном
сечении нейтрон – ядерного взаимодействия с
использованием
теоремы «Поляризация - Асимметрия»**

В.Р. Ской

1. ТЕОРЕМА ПОЛЯРИЗАЦИЯ – АСИММЕТРИЯ (П-А)

Если имеет место Т-инвариантность, то для неполяризованного падающего пучка частиц со спином $\frac{1}{2}$, поляризация P рассеянных частиц равна асимметрии A при рассеянии полностью поляризованного пучка.

П-А теорема для трансмиссии нейтронов с нарушением Р-четности

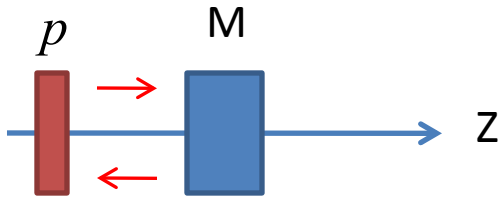
Гамильтониан взаимодействия нейтрона, движущегося вдоль оси Z с ядром мишени:

$$H = \frac{2\pi\hbar}{m} n_t (as_0 + b\sigma_z) = \frac{2\pi\hbar^2}{m} n_t as_0 + b'\sigma_z$$

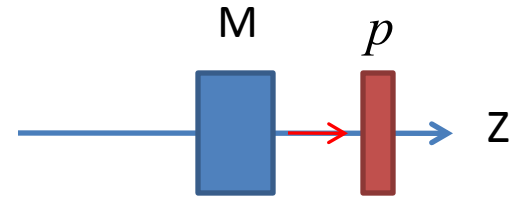
a - амплитуда сильного, b - слабого Р - нечетного взаимодействия, n_t – плотность ядер мишени, s_0 – единичная матрица, σ_z – матрица Паули

Эволюция спиновой матрицы плотности нейтронного пучка при прохождении мишени толщиной d за время t определяется оператором:

$$U = e^{-iHt} = \eta(a) \cdot [\cos(b't)s_0 + i \sin(b't)\sigma_z]$$



Мишень после спинового фильтра



Мишень перед спиновым фильтром

Матрица плотности нейтронного пучка на входе мишени

$$\rho_{p\pm} = \frac{1}{2}(s_0 \pm p\sigma_z)$$

$$\rho_0 = \frac{1}{2}s_0$$

$$T_{p\pm} = \text{Tr}(U\rho_{p\pm}U^+)$$

$$A = \frac{T_{p+} - T_{p-}}{T_{p+} + T_{p-}}$$

Асимметрия трансмиссий для поляризованного пучка

$$\rho'_0 = U\rho_0U^+$$

$$P = \frac{\text{Tr}(\rho'_0 \cdot p\sigma_z)}{\text{Tr}(\rho'_0)}$$

Поляризация, возникшая в неполяризованном пучке

Непосредственные вычисления приводят к выражениям:

$$A = P = \frac{2 \operatorname{Im}[\sin(b't)^* \cos(b't)]}{|\sin(b't)|^2 + |\cos(b't)|^2} = \tanh(2\pi\lambda \operatorname{Im} b \cdot pn_i d) = \tanh(\sigma_P \cdot pn_i d)$$

Таким образом, в трансмиссии нейтронов при наличии P - нечетного эффекта П-А теорема выполняется.

2. НАРУШЕНИЕ T – ИНВАРИАНТНОСТИ

При обращении времени, согласно свойству этой операции:

$$\langle f | G | i \rangle \xrightarrow{T} \langle f | G | i \rangle^+ = \langle i | G^* | f \rangle$$

Представим амплитуду b в виде:

$$b = \langle f | v_P | i \rangle = v_P \varphi_f \varphi_i$$

где v_P – **величина** матричного элемента P – нечетного взаимодействия, $\varphi_i \varphi_f$ – скалярные функции состояний.

При обращении времени:

$$\langle f | v_P | i \rangle \rightarrow \langle i | v_P^* | f \rangle = v_P^* \varphi_f \varphi_i$$

Если v_P – действительная величина, то мнимая часть амплитуды b

$$\text{Im} b = v_P \text{Im}(\varphi_i \varphi_f)$$

одинаково входит в выражения для A и P и П-А теорема выполняется.

Пусть $v_P \rightarrow v_P + iv_T$, тогда:

$$b_+ = \langle f | v_P + iv_T | i \rangle = (v_P + iv_T) \varphi_f \varphi_i$$

$$b_+ \xrightarrow{T} b_- = \langle i | v_P - iv_T | f \rangle = (v_P - iv_T) \varphi_f \varphi_i$$

И мнимые части амплитуд для прямого и обратного процессов будут отличаться:

$$\text{Im} b_+ = v_P \text{Im}(\varphi_i \varphi_f) + v_T \text{Re}(\varphi_i \varphi_f)$$

$$\text{Im} b_- = v_P \text{Im}(\varphi_i \varphi_f) - v_T \text{Re}(\varphi_i \varphi_f)$$

Поскольку эксперименты по измерению A и P являются взаимно обратными во времени, то подставив в выражение для одной из этих величин (любой) $b \rightarrow b_+$, а для другой $b \rightarrow b_-$, получим:

$$P - A \sim \text{Im}[\sin t(b'_+ - b'_-)] \sim v_T$$

Таким образом, в рамках П-А теоремы построена модель нарушения Т - инвариантности для трансмиссии нейтронов с учетом Р - нечетного эффекта.

При этом использовались только формулировка самой П-А теоремы и общие трансформационные свойства амплитуд процессов относительно операции обращения времени.

Никаких условий относительно поляризации ядер мишени не потребовалось.

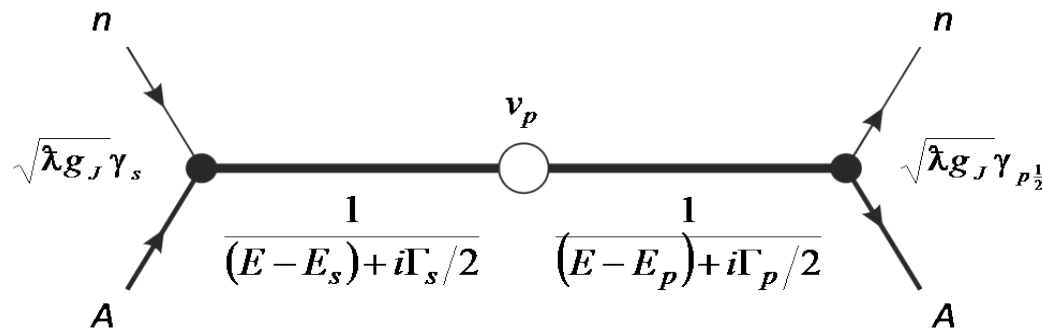
3. S - МАТРИЧНАЯ СТРУКТУРА АМПЛИТУДЫ b

Нарушение P – четности в трансмиссии описывается элементами S – матрицы:

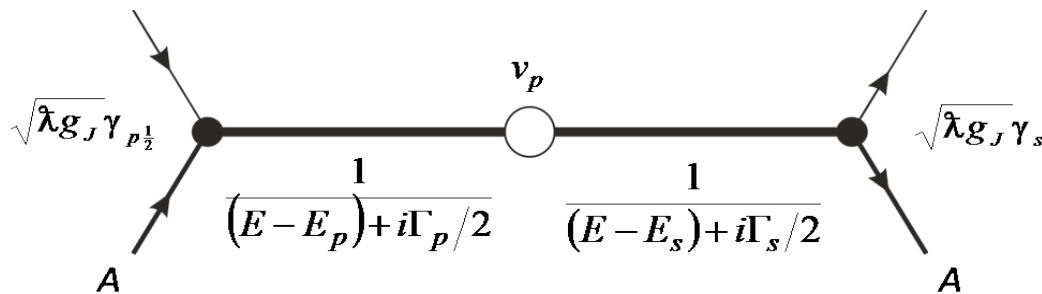
$$S(l_1, j_1, l_2, j_2)$$

где l - орбитальный и j - полный момент нейтрона в начальном и конечном состояниях. Эти матричные элементы соответствуют процессам с диаграммами:

$$S(0, \frac{1}{2}, 1, \frac{1}{2})$$



$$S(1, \frac{1}{2}, 0, \frac{1}{2})$$



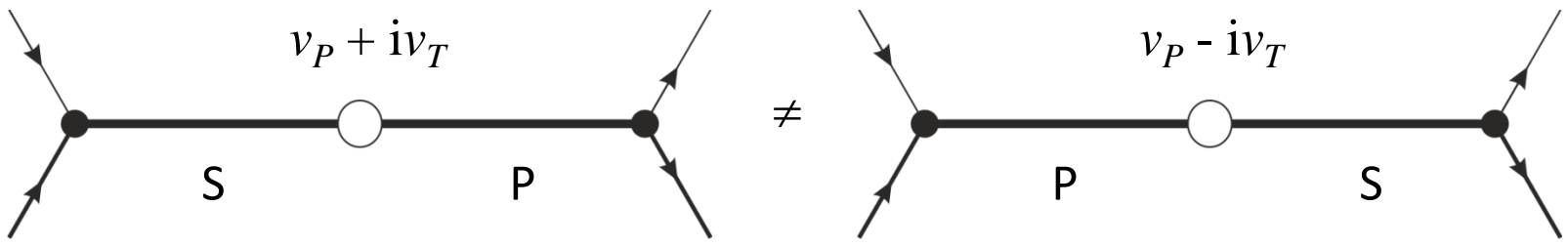
Поскольку вклад этих процессов в нарушение P – четности равновероятен, то:

$$b_P \sim S(0, \frac{1}{2}, 1, \frac{1}{2}) + S(1, \frac{1}{2}, 0, \frac{1}{2}) \sim v_P$$

С другой стороны, эти диаграммы можно рассматривать как взаимно обращенные во времени. Значит амплитуда, связанная с нарушением T - инвариантности должна иметь структуру:

$$b_T \sim S(0, \frac{1}{2}, 1, \frac{1}{2}) - S(1, \frac{1}{2}, 0, \frac{1}{2}) \sim v_T$$

Что означает различие вероятностей прямого и обратного во времени процессов если матричный элемент слабого взаимодействия комплексный.



4. ЯВНЫЕ ВЫРАЖЕНИЯ ДЛЯ ЭЛЕМЕНТОВ S – МАТРИЦЫ

Последовательное перемножение величин, указанных на диаграммах приводит к выражениям для элементов S – матрицы с учетом подстановки $v_P \rightarrow v_P \pm iv_T$:

$$S(0, \frac{1}{2}, 1, \frac{1}{2}) = -i \frac{\hat{\lambda}}{2} g_J \frac{\gamma_s \gamma_{p\frac{1}{2}}}{\Delta E_s \Delta E_p} (v_P + iv_T), \quad S(1, \frac{1}{2}, 0, \frac{1}{2}) = -i \frac{\hat{\lambda}}{2} g_J \frac{\gamma_s \gamma_{p\frac{1}{2}}}{\Delta E_s \Delta E_p} (v_P - iv_T)$$
$$b_P = i \frac{\hat{\lambda}}{2} g_J [S(0, \frac{1}{2}, 1, \frac{1}{2}) + S(1, \frac{1}{2}, 0, \frac{1}{2})], \quad b_T = \frac{\hat{\lambda}}{2} g_J [S(0, \frac{1}{2}, 1, \frac{1}{2}) - S(1, \frac{1}{2}, 0, \frac{1}{2})]$$

Поскольку для рассмотренных S - матричных структур было доказано существование факторов динамического и резонансного усиления эффектов нарушения P – четности и T - инвариантности, то эти же факторы действуют и в рассматриваемом случае проверки П-А теоремы.

5. ИЗМЕРЯЕМЫЕ ВЕЛИЧИНЫ

Используя выражения для амплитуд b_P и b_T с помощью оптической теоремы можно перейти к полным сечениям и построить необходимый набор величин для описания измеряемых A и P :

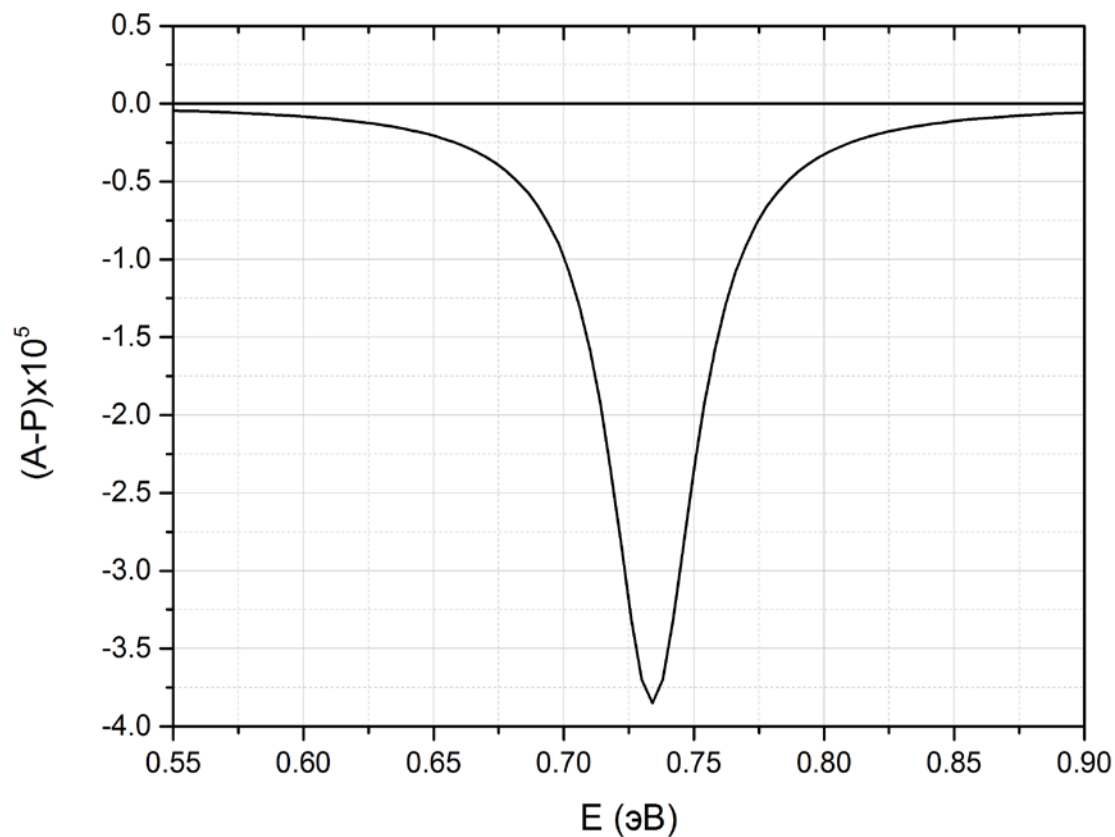
$$A = \tanh[(\sigma_P + \sigma_T)pn_t d]$$

$$P = \tanh[(\sigma_P - \sigma_T)pn_t d]$$

В силу малости аргумента тангенса: $A - T \approx 2\sigma_T pn_t d$

Часть полного сечения, связанная с T – неинвариантным взаимодействием:

$$\sigma_T = \frac{\pi \hat{\lambda}^2 g_J \gamma_s \gamma_{p\frac{1}{2}} v_T}{[(E - E_s)^2 + \Gamma_s^2/4][(E - E_p)^2 + \Gamma_p^2/4]} [(E_s - E)\Gamma_p + (E_p - E)\Gamma_s]$$



Расчет эффекта $A - P$ для мишени LaAlO_3 толщиной 3 см, вблизи р - волнового резонанса 0.734 эВ;

$$\nu_P = 4.2 \times 10^{-3} \text{ эВ}, \nu_T = 10^{-3} \nu_P.$$

Поляризация пучка 100%

Модель	v_T/v_P
Феноменологическое милисильное взаимодействие	10^{-2}
Спонтанное нарушение CP – симметрии (Вайнберг) (с нейтральными бозонами Хиггса)	$10^{-5} - 10^{-4}$ $10^{-3} - 10^{-1}$
Однопионный обмен	$< 10^{-3}$
θ - член (вакуумный угол) в лагранжиане КХД	$< 10^{-4}$
Модель великого объединения на основе группы $SO(10)$	$< 10^{-7}$
Фаза Кобаяши–Маскавы в стандартной модели	$< 10^{-8}$
Горизонтальная симметрия	$< 10^{-10}$

6. МАТРИЧНЫЙ ЭЛЕМЕНТ ЧИСТО МНИМЫЙ

В этом случае P - нечетного эффекта нет $\nu_P = 0$. Возникновение поляризации в проходящем неполяризованном пучке и асимметрии в поляризованном, связано только с T - неинвариантным взаимодействием.

$$b_T \sim S(l, \frac{1}{2}, l, \frac{3}{2}) - S(l, \frac{3}{2}, l, \frac{1}{2})$$

где матричные элементы соответствуют переходам между состояниями с **одинаковым орбитальным моментом l** , но разным полным моментом j нейтрона.

В этом случае поляризация и асимметрия равны по величине, но имеют противоположные знаки. При этом даже нет необходимости проверять П - А теорему. Достаточно наблюдения дихроизма для поляризованных нейтронов или появления поляризации в пучке - просто по принципу исключения других причин, поскольку ядра мишени не поляризованы.

7. ПОПЕРЕЧНАЯ ПОЛЯРИЗАЦИЯ НЕЙТРОНОВ

П–А теорема формулирует минимальные условия для проверки Т – инвариантности: частицы должны быть поляризованы. Но она ничего не говорит о направлении поляризации. Это направление определяется физикой процесса.

Однако двухуровневое приближение также ничего не говорит о направлении поляризации. Поэтому возможна проверка П–А теоремы не только для продольной относительно импульса поляризации нейтронов (спиральности), но и для поперечной.

При этом Р - нечетный эффект отсутствует, но в отличии от случая $\nu_P = 0$, двухуровневое приближение по-прежнему соответствует смешиванию состояния с разными, а не одинаковыми четностями.

Таким образом, нарушение Т – инвариантности может наблюдаться как для продольной поляризации σ_z так и для поперечной σ_x или σ_y

$$b\sigma_z \rightarrow b_P\sigma_z + \alpha \cdot b_T\sigma_z + \beta \cdot b_T\sigma_{x,y}$$

8. СТАТИСТИЧЕСКАЯ ТОЧНОСТЬ

Абсолютная ошибка измерения поляризации и асимметрии ($N \sim N_{\pm}$):

$$P \sim A = \frac{N_+ - N_-}{N_+ + N_-}$$

$$\Delta P = \Delta A = 1/\sqrt{2N}$$

Тогда относительная ошибка эффекта $\varepsilon = P - A$:

$$\Delta\varepsilon/\varepsilon = \frac{1}{\varepsilon\sqrt{N}}$$

Таким образом:

$$N \geq 1/\varepsilon^2 \sim 10^{10}$$

Интенсивность падающего пучка (на всю площадь мишени):

$$I_0 \sim \frac{4N \cdot e^{n_t \sigma_0 d_t} \cdot e^{n_s \sigma_s d_s} \text{ } ^3\text{He}}{\Gamma_p \cdot t_{\text{изм}}} \rightarrow I_0 \sim \frac{4N \cdot e \cdot (1/0.2)}{\Gamma_p \cdot t_{\text{изм}}}$$

год: 2×10^5 1/(с эВ)

месяц: 2×10^6 1/(с·эВ)

9. СИСТЕМАТИЧЕСКИЕ ОШИБКИ

Очевидными источниками систематических ошибок являются:

1. Различие условий на детекторе до и после перестановки мишени.
2. Наличие магнитного поля, которое может повернуть спин нейтрона на пути между мишенью и спиновым фильтром.
3. При использовании магнитного канала транспортировки (соленоида), на спин может оказывать влияние несоосность пучка и поля в соленоиде.

Первая проблема в принципе решается по результатам измерений вне p - резонанса, поскольку эффект там намного меньше, чем в резонансе, а влияние окружения детектора - то же самое. Можно выполнить измерение на неполяризованном пучке (спиновый фильтр присутствует, но $p = 0$)

Решение второй проблемы, помимо чисто технической стороны требует изучения измеряемых величин при заданных параметрах магнитного поля. Например, если поле M лежит в плоскости YZ и составляет с осью Z угол θ , то в гамильтониан помимо амплитуд a и b нужно включить еще:

$$c = \sigma_y (\mu_n M / \hbar) \sin \theta$$

Рассмотренные модели двухуровневого приближения с комплексным матричным элементом обычно применяются для описания нарушения T -инвариантности при взаимодействии поляризованных нейтронов с поляризованными или выстроенными ядрами.

Проведенный анализ показывает, что эти же модели приводят одновременно и к нарушению P - A теоремы, проверка которой однако не требует поляризованных или выстроенных мишеней.

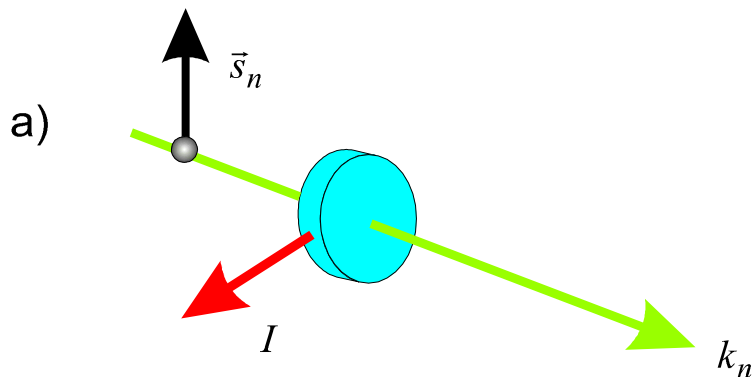
Поскольку для выполнения P - A теоремы требуется, чтобы матричный элемент взаимодействия был действительным, то **любая** модель с комплексными матричными элементами будет приводить к нарушению теоремы и, следовательно T -инвариантности.

Интермедия

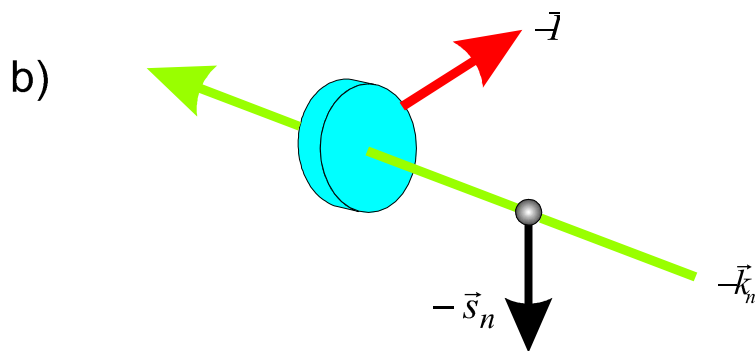
Тройная корреляция $\vec{s} \cdot (\vec{k} \times \vec{l})$:
$$\sigma_T = \frac{\hbar}{2} g_J \operatorname{Im}[S(0, \frac{1}{2}, 1, \frac{1}{2}) - S(1, \frac{1}{2}, 0, \frac{1}{2})]$$

П-А теорема:
$$\sigma_T = \frac{\hbar}{2} g_J \operatorname{Im}[S(0, \frac{1}{2}, 1, \frac{1}{2}) - S(1, \frac{1}{2}, 0, \frac{1}{2})]$$

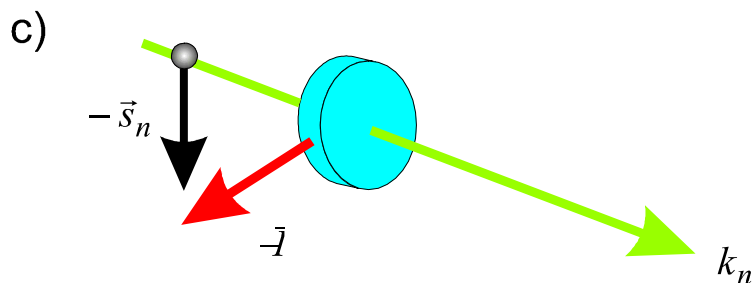
Общая схема проверки Т-инвариантности в трансмиссии поперечно-поляризованных нейтронов через поляризованную мишень



a) схема эксперимента, соответствующая структуре тройной корреляции



b) схема a) обращенная во времени.



c) схема b) повернутая на 180° вокруг оси x, совпадающей по направлению \vec{s} и проходящей через центр мишени.

БУНАКОВ В.Е (1988), БАРАБАНОВ А.Л. (1992)

Амплитуда нейтронной ширины p -резонанса для P -четного, T – неинвариантного взаимодействия:

$$\gamma_{p1}(j) \rightarrow \gamma_{p1}(j) + \frac{i\omega_T}{E - E_{p2} + i\Gamma_{p2}/2} \gamma_{p2}(j)$$

$$\gamma_{p2}(j) \rightarrow \gamma_{p2}(j) - \frac{i\omega_T}{E - E_{p1} + i\Gamma_{p1}/2} \gamma_{p1}(j)$$

$$C \cdot \vec{s} \cdot (\vec{k} \times \vec{I})(\vec{k} \cdot \vec{I})$$

Пятерная корреляция

Любая резонансная
реакция

Таким образом был указан универсальный рецепт переноса эффекта нарушения T -инвариантности на любое взаимодействие нейтронов с ядрами, вне зависимости от трансформационных свойств векторов, связанных с этим взаимодействием.

Амплитуды нейтронных ширин s – и p – резонансов для P – нечетного,
 T – неинвариантного взаимодействия:

$$\gamma'_s = \gamma_s + \frac{v_p + iv_T}{\Delta_p} \gamma_{p\frac{1}{2}} \quad \Rightarrow \quad \begin{array}{c} \text{Diagram 1: } s \text{ resonance} \\ \text{Diagram 2: } s \text{ resonance with } v_p + iv_T \text{ correction} \end{array}$$

$$\gamma'_{p\frac{1}{2}} = \gamma_{p\frac{1}{2}} + \frac{v_p + iv_T}{\Delta_s} \gamma_s \quad \Rightarrow \quad \begin{array}{c} \text{Diagram 3: } p \text{ resonance} \\ \text{Diagram 4: } p \text{ resonance with } v_p + iv_T \text{ correction} \end{array}$$

Полные сечения прямого (+) и обратного во времени (-) процессов:

$$\sigma_+ \sim \text{Im} \left(\frac{\gamma_s \gamma'_s}{\Delta_s} \right) + \text{Im} \left(\frac{\gamma_{p\frac{1}{2}} \gamma'_{p\frac{1}{2}}}{\Delta_p} \right) = \Sigma_s + \Sigma_p + \sigma_P + \sigma_T$$

$$\sigma_- \sim \text{Im} \left(\frac{\gamma_s \gamma_s'^*}{\Delta_s} \right) + \text{Im} \left(\frac{\gamma_p \gamma_p'^*}{\Delta_p} \right) = \Sigma_s + \Sigma_p + \sigma_P - \sigma_T$$

Чтобы выделить вклад T – неинвариантного взаимодействия σ_T в полное сечение нужно:

1. Либо придумывать векторную корреляцию и конструировать прямой и обратный процессы на основе трансформационных свойств образующих ее векторов.
2. Либо применять П-А теорему, в формулировке которой явно указываются нужные процессы.

Таким образом, векторная корреляция и П-А теорема это **альтернативные методики** для выявления P - нечетной, T – неинвариантной величины:

$$\sigma_{PT} \sim S\left(0, \frac{1}{2}, 1, \frac{1}{2}\right) - S\left(1, \frac{1}{2}, 0, \frac{1}{2}\right)$$

или P - четной, T – неинвариантной:

$$\sigma_T \sim S\left(1, \frac{1}{2}, 1, \frac{3}{2}\right) - S\left(1, \frac{3}{2}, 1, \frac{1}{2}\right)$$

ЗАКЛЮЧЕНИЕ

1. Показано, что в рамках П-А теоремы можно осуществить проверку Т-инвариантности при измерении полных сечений нейтрон - ядерного взаимодействия без использования поляризованных мишеней.
2. Измеряемая величина совпадает с той, которую предполагалась определить в экспериментах с поляризованной мишенью (тройная корреляция).
3. Для экспериментов необходим спиновый фильтр (поляризатор/анализатор). Преимущество имеет «всеволновой» фильтр, если нейтронный источник обеспечивает высокое энергетическое разрешение.
4. Систематические ошибки (ложные эффекты) предлагаемой методики преодолимы в значительно большей степени, чем в экспериментах с поляризованной мишенью.
5. Приведены оценки времени измерения эффекта нарушения Т – инвариантности.